

建設省中部地方建設局 正員 江川太郎
防衛大学校 正員 竹内俊雄

1. まえがき

降雨による流出量の解析については数多くの手法が提案されており、これを適切に応用すれば、これによって現象の説明、流出の予測等がなりの成果をあげている。しかしながら流出量に影響を及ぼす要素が多いこと、その要素が複雑にからみ合つた結果、流出量は單純な形で表われてゐるが、見出されていいる普遍的な法則性は少い。そこで比較的精度の高い試験地の資料を用いて、少しだけ多くの法則性を見出し、それによつて数多くの資料が確かめられるならば、今后の水文資料の集積や流出の解析に有力な基礎を与えるものと考えられる。

この報告は神流川試験地(福井支川)の資料によつて適減曲線の形状に関する2,3の要素について検討を加えて一般的な法則性を見出そうとしたものである。

2. 流出の分類

流域に降つた降雨量は①蒸散量 ②浸透量 ③表面流出量の3つに分れると考えられる。このうち浸透量については(a)土壤の土温不足の度合に応じて土壤中に残留する量(うち一部は蒸散量) (b)一旦土壤中に浸透してから地下水面迄は到達せざり流出する量(中間流出) (c)地下水面に到達して後流出する量(地下水流出)に分れると考えて良いであろう。

3. 適減曲線の成分の分類

流出量ハイドログラフの適減部の形状については流域の地形、植生等に大きな変化がない限り、無降雨状態の形状は個々の流域(流量観測地)で固有の形となることが一般に認められている。(この曲線を以下標準適減曲線と呼ぶ)

吾國では長い間無降雨状態の續くことは少いので、図1出水と標準適減曲線を比べ、よれることはない。(冬季に長く無降雨の續くこともちろんが、この場合は流量の範囲が狭い)

そこで各出水の適減部を低い流量の方から重ね合わせ図を作り、そつ下側を包絡すると

曲線が標準適減曲線に一致するものと考えられる(図1)。この図はまだピーク流量直行

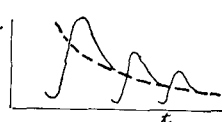


図1 標準適減曲線

の流量急減部は出水毎に異った形となるがしばらく時間がたつと適減部は流域固有の一定の曲線(標準適減曲線)に収斂するとして示している。各出水のハイドログラフどこの曲線に来る前と来てから後とに分けると来る前の部分は主として表面流出による部分で降雨の場所的分布や時間的分布の影響を受けながら、曲線に集つてから後は主として地下水流出による部分で降雨の分布に沿って奥深く浸透した量の大きい部分支配されるものである。

4. 標準適減曲線を用ひたハイドログラフの適減部の性質

雨が止んでハイドログラフのピーク流量から標準適減曲線に来るまでの部分形状のうち、その継続時間(t)と集合する量の流量(Q_p)の大きさについて検討した。先づ継続時間に主なる影響を及ぼすと考えられる要素として、出水のピーク流量をとりあげたのが図2,3である。莫大なバラツキに対して流域降雨量の場所的分布をハーフメートルにとりあげると流域の奥に集中した場合、流域の下流部に集中した場合、及び流域に比較的均一な場合の3つのグループに分類される。(しかし本川(374 km²)図2と支川(12.6 km²)図3を比べると、流域の大小に拘らず同じ傾向があることが示されていい。

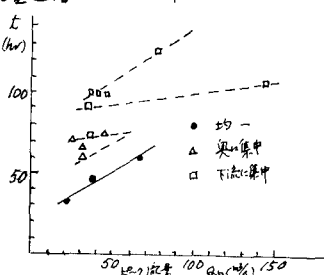


図2 総合時間とピーク流量の関係(本川)

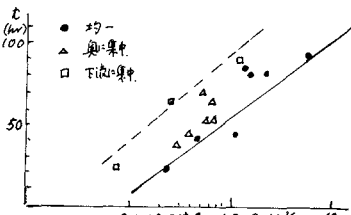


図3 総合時間とピーク流量の関係(支川)

次に乗合実の流量の大きさについては、これを支配する要素として、降雨の地表からの浸透量を想定し、これを時間雨量2mm以下の総和($P_{2.0}$)と仮定し、この量が地下水位の上昇に寄与すると考え、この値と乗合実流量(Q_0)と増水直前の初期流量(Q_b)との差との関係を図-4,5に示した。さらに地下水への到達量は地表から地下水位迄の間の土壤等に残留する量を浸透量から差引いた量と考え、これをバラツキマークとして分類することとした。土壤中に残留する量として後述に時間雨量中0.5mm以下の総和($P_{0.5}$)と仮定し、 $P_{2.0} - P_{0.5}$ をバラツキマークとしてしたところは、図-4,5のよりKなり。両図ともほぼ同様の傾向が示された。

5. 一雨流出量及び地下水への到達量の算定

独立降雨の場合の一雨の全流出量は次のようにして計算される。その降雨に対する初期流量 Q_b が標準遮蔽曲線に乗っていて、さらにその降雨による流出の遮蔽部が図-6のよろに標準遮蔽曲線に乗った場合、その降雨に対する全流出量は图形EAPCFであるが遮蔽部は無限に縮くこと、图形ABDE=图形CDFである。したがって图形EAPCF=图形BA+PCDとなり、一雨流出量が求められる。

これを同様の考え方で地下水への到達水量は図-7の斜線部分として示され、 $\sum \frac{Q_b}{Q_0}$ として計算される。たゞし、 Q_b と乗合実は、おもて後りにその降雨がなかったとした場合の標準遮蔽曲線上の流量。

こうして算定された量と前節の $P_{2.0}$ 及び $P_{2.0} - P_{0.5}$ と比較したのが図-8,9である。バラツキはあらかじめ $P_{2.0}$ や $P_{0.5}$ の仮定がそれ程的は正確な値がないことがわかる。また、資料の限りでは $P_{2.0} - P_{0.5}$ は $\sum \frac{Q_b}{Q_0}$ の1.5程度であり、 $P_{2.0}$ は $\sum \frac{Q_b}{Q_0}$ より5mm程度多い値を示す傾向が見られる。

6. あとがき

この報告は1975年I.A.H.S.で行なった報告とさらに多くのため前述の地下水への到達量算定法により量的正確がめたものであるが第一次的な整理で計算上の不備が多い。吾国の場合遮蔽部が標準遮蔽曲線に乗る場合が少ないので、充分集つていらない資料を乗つてあるものと評価している場合がある。このためのバラツキもかなりあると思われる。

今后それ等の実と収集に調べて過大過少の評価を行ない流量観測所固有の関係を求めて行くことによって流出量に対する法則性を見出しを行なうたいと考えている。

参考文献

- 建設省工木研究所、下久保ダム工事報告

神流川流域水文資料 昭和37年9月

- I.A.H.S. 'Proceedings of the Tokyo Symposium, December 1975' p55~61

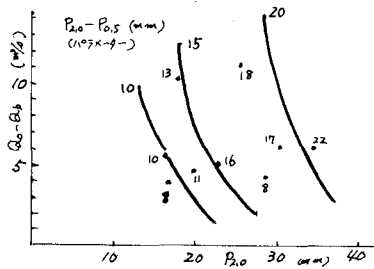


図-4 $Q_0 - Q_b$ と $P_{2.0}$ の関係 (本川)

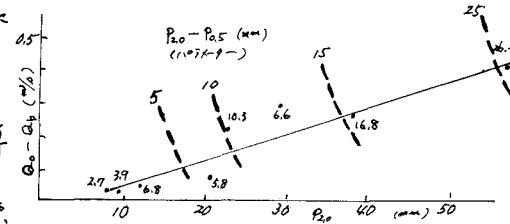


図-5 $Q_0 - Q_b$ と $P_{2.0}$ の関係 (支川)

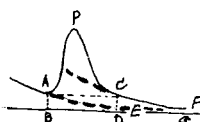


図-6 一雨流出量

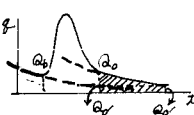


図-7 地下水への到達量

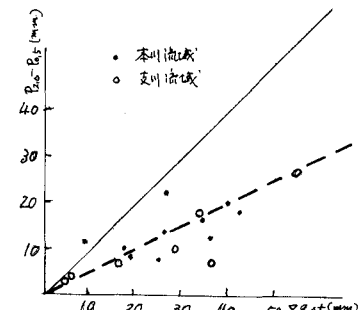


図-8 $(P_{2.0} - P_{0.5})$ と $\sum \frac{Q_b}{Q_0}$ の関係

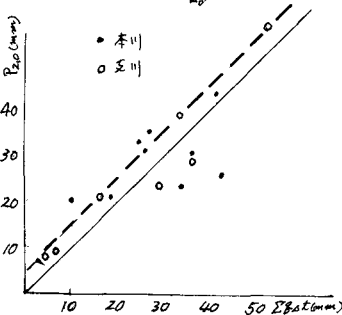


図-9 $P_{2.0}$ と $\sum \frac{Q_b}{Q_0}$ の関係